



دانشگاه پیام نور

مرکز ابهر

پایان نامه

برای دریافت درجه کارشناسی ارشد

در رشته شیمی آلی

دانشکده علوم

گروه شیمی

عنوان پایان نامه:

روش جدیدی در سنتز زانتن ها و مطالعه ساختار فراورده ها با محاسبات ab-initio

استادان راهنما:

دکتر محمد نیک پسند و دکتر لیلا زارع فکری توچائی

استاد مشاور:

دکتر محمد رضا پور هروی

نگارش:

منصور گلدوست آذری

تیر ۱۳۹۱



Payame Noor University
Center of Abhar

Submitted in Partial Fulfillment of the Requirements for the Degree of M.Sc.
in Organic Chemistry
Department Of Chemistry

Title:

Novel methods for synthesis of Xanthenes and studies of structure of products using ab-initio calculations

Supervisor:

Dr. M. Nikpassand and Dr. L. Zare

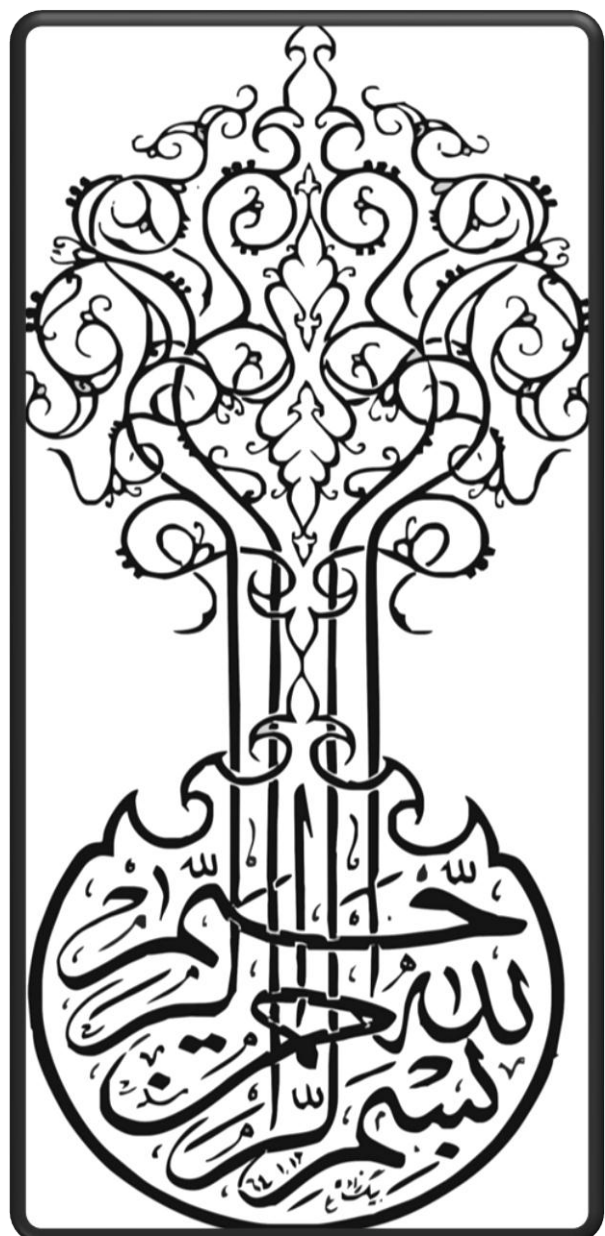
Advisor:

Dr. M. R. Poor Heravi

By:

Mansour goldoust

July.2012



تقدیم به

مادران صبور، پدران متعهد و مرییان همیشه مهربان

سپاسگذاری

سپاس خداوند را که زبان قلم یارای سپاس او نیست.

به پایان رسیدن پژوهش حاضر پس از لطف و عنایت خدای بزرگ، مرهون یاری عزیزانی است که کریمانه بذر عنایت بر فشارند و ذکر نامشان را نه به جبران زحمات بی دریغشان بلکه اظهار مراتب قدرشناسی ام از آن بزرگواران بر خود واجب می دانم.

نهايت سپاسم نثار:

جناب آقای دکتر محمد نیک پسند و خانم دکتر لیلا زارع فکری توچائی اساتید راهنمای بزرگوارم که دقت علمی و الفبای پژوهش را از ایشان آموختم و هم چنین از جناب آقای دکتر محمد رضا پورهروی به پاس آموخته هایم از ایشان، همراهی و رهنموده های ارزنده و همکاری صمیمانه شان.

همکاران، دوستان، همکلاسیهای عزیزم و خانواده ارجمندم که با هم اندیشه برخی گرهای ناگشوده را برگشودند.

روش جدیدی در سنتز زانتن ها و مطالعه ساختار فرآورده ها با محاسبات ab-initio

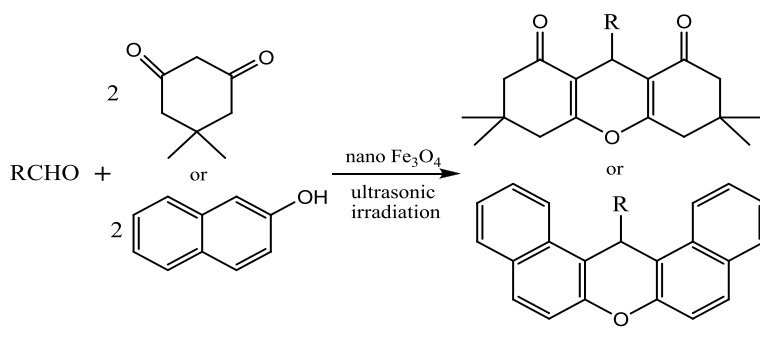
مشتقات زانتن ها و دی بنزو زانتن ها به علت دارا بودن خواص بیولوژیکی متنوع و خواص دارویی از قبیل ضد ویروس، ضد باکتری و ضد التهاب مورد توجه بسیاری از شیمی دان ها قرار گرفته اند. در سال های اخیر مطالعه های زیادی روی سنتز مشتقات جدید و هم چنین ارائه روش های جدید سنتز آنها انجام گرفته است.

در این تحقیق، روش جدیدی برای سنتز برخی مشتقات زانتن و دی بنزو زانتن در مجاورت نانو کاتالیزگر Fe_3O_4 و با تابش امواج فرا صوت ارائه شد (شما ۱).

محصولات با روش های IR، $^1\text{H}\text{NMR}$ و $^{13}\text{C}\text{NMR}$ مورد بررسی قرار گرفت.

محاسبات نظریه تابع چگالی در تراز B3LYP برای بهینه سازی ساختار ترکیبات و محاسبه طیف های IR، $^1\text{H}\text{NMR}$ و $^{13}\text{C}\text{NMR}$ به کار رفت. نتایج نشان داد که، مقادیر محاسبات و داده های تجربی قابل انطباق هستند.

در ادامه مطالعه، آروماتیسیته ترکیبات انتخاب شده با استفاده از شاخص جابجایی شیمیایی مستقل از هسته (NICS) و شاخص نوسانگر هماهنگ آروماتیسیته (HOMA) مورد بررسی قرار گرفت.



شما ۱

واژگان کلیدی: زانتن، $\text{Nano-Fe}_3\text{O}_4$ ، جابجایی شیمیایی مستقل از هسته، شاخص نوسانگر هماهنگ آروماتیسیتی، نظریه تابع چگالی

صفحه	عنوان
	فصل اول: مقدمه و تئوری
۱	۱-۱- مقدمه بخش عملی
۱	۱-۲- ماهیت مغناطیسی نانوذرات
۲	۱-۳- آرایش الکترونی، حالت اکسایش و ساختمان کمپلکس آهن
۲	۱-۴- خواص کاتالیزگری مگنتیت
۳	۱-۵- پیران ها و خصوصیات ساختمانی آن ها
۴	۱-۶- برخی از روش های سنتز مشتقات پیران ها
۴	۱-۶-۱- سنتز مولکول پیران با استفاده از واکنش های سه جزئی
۵	۱-۶-۲- سنتز مولکول پیران با روش مشابه روش هانتشن
۵	۱-۶-۳- سنتز مشتقات H_4 -پیران با استفاده از اتوکسید
۶	۱-۶-۴- سنتز مشتقات H_4 -پیران با استفاده از K_2CO_3
۶	۱-۶-۵- سنتز H_4 -پیران به وسیله واکنش حلقه زایی بین ترکیبات ۱، ۳، ۴- اکسادی آزول و سیکلوپروپن
۷	۱-۶-۶- سنتز H_4 -پیران از طریق واکنش هترو دیلز- آلدر
۷	۱-۷- سنتز مشتقات تترا هیدرو بنزو [b] پیران
۸	۱-۸- سنتز H_4 -پیران در شرایط تابش ریز موج
۹	۱-۹- سنتز H_4 -پیران با استفاده از ZnO/MgO شامل نانوذرات ZnO
۹	۱-۱۰- سنتز مشتقات H_4 -پیران با استفاده از مایعات یونی
۱۰	۱-۱۱- سنتز مشتقات سه حلقه ای پیرانو پیران با استفاده از کاتالیزگر NEt_3
۱۰	۱-۱۲- سنتز مشتقات سه حلقه ای پیران با استفاده از کاتالیزگر K_2CO_3
۱۱	۱-۷- زانتن ها و روش سنتز آنها
۱۳	۱-۷-۱- سنتز مشتقات سه حلقه ای پیران (زانتن) با استفاده از گرمای سلولز سولفونیک اسید
۱۳	۱-۷-۲- سنتز مشتقات سه حلقه ای پیران (زانتن) با استفاده از کاتالیزگر $Fe(HSO_4)_2$
۱۴	۱-۷-۳- سنتز مشتقات ۴ حلقه ای پیران در حضور کاتالیزگر Na_2CO_3
۱۴	۱-۷-۴- سنتز مشتقات ۵ حلقه ای پیران در حضور کاتالیزگر $BF_3.SiO_2$
۱۵	۱-۷-۵- سنتز مشتقات ۵ و ۳ حلقه ای پیران در حضور کاتالیزگر $ZrO(OTf)_2$

۱۵	۶-۷-۱- سنتز مشتقات ۵ و ۳ حلقه ای پیران به وسیله رزین تبادل یونی Dowex-50W
۱۶	۱-۸-۱- مقدمه بخش محاسباتی
۱۶	۱-۸-۱-۱- تاریخچه و اهمیت شناخت آروماتیسیتی
۱۷	۱-۸-۱-۲- معیارهای بررسی آروماتیسیتی
۱۷	۱-۲-۸-۱-۱- بررسی ساختاری و همسان بودن طول پیوند
۱۸	۱-۲-۸-۱-۲- بررسی واکنش پذیری
۱۸	۱-۲-۸-۱-۳- بررسی رفتار مغناطیسی
۱۸	۱-۳-۲-۸-۱-۱- جابجایی شیمیایی پروتون
۲۰	۱-۳-۲-۸-۱-۲- بررسی جابجایی شیمیایی مستقل از هسته
۲۰	۱-۳-۳-۲-۸-۱-۱- بررسی تاثیر پذیری مغناطیسی
۲۰	۱-۳-۸-۱- روشن نظریه تابع چگالی
۲۱	۱-۴-۸-۱- شاخص نوسانگر هماهنگ آروماتیسیتی

فصل دوم: کارهای عملی

۲۳	۱-۱- هدف تحقیق
۲۳	۱-۲- سنتز ترکیبات زانتنی
۲۴	۱-۳-۲- مکانیسم پیشنهادی برای واکنش تراکمی آلدهیدها با دایمدون در حضور نانو ذرات Fe_3O_4
۲۶	۱-۴-۲- تکنیک های عمومی
۲۶	۱-۵-۲- روشن عمومی تهیه ۴-آریل- H_4 -پیران ها
۲۷	۱-۶-۲- سنتز ۹-(۴-کلرو فنیل)-۳،۳،۶- ترا متیل-۹،۷،۶،۵،۴،۳- هگزاہیدرو- H_1 - زانتن - ۱،۱
۲۷	۱-۶-۲- دیون (۱d) (۲H)
۲۷	۱-۷-۲- روشن عمومی بهینه سازی کاتالیزگر
۳۰	۱-۷-۲- سنتز ۳،۳،۶- ترا متیل-۹-(۳-نیترو فنیل)-۹،۷،۶،۵،۴،۳- هگزاہیدرو- H_1 - زانتن - ۱،۱
۳۲	۱-۸-۲- سنتز ۳،۳،۶- ترا متیل-۹-(۴-نیترو فنیل)-۹،۷،۶،۵،۴،۳- هگزاہیدرو- H_1 - زانتن - ۱،۱
۳۲	۱-۸-۲- دیون (۱f) (۲H)
۳۴	۱-۹-۲- سنتز ۹-(۲-کلرو فنیل)-۳،۳،۶- ترا متیل-۹،۷،۶،۵،۴،۳- هگزاہیدرو- H_1 - زانتن - ۱،۱
۳۴	۱-۹-۲- دیون (۱g) (۲H)

۳۵	۱۰-۲- روش عمومی تهیه -۱۴- آریل - H_4 - دی بنزو زانتن ها
۳۶	۱۱-۲- سنتز -۱۴- (فنیل) - H_4 - دی بنزو [j, a] زانتن (۲a)
۳۶	۱-۱۱-۲- روش عمومی بهینه سازی کاتالیزگر
۳۸	۱۲-۲- سنتز -۱۴- (۴- متوكسی فنیل) - H_4 - دی بنزو [j, a] زانتن (۲b)
۳۹	۱۳-۲- سنتز -۱۴- (۴- متیل فنیل) - H_4 - دی بنزو [j, a] زانتن (۲c)
۴۰	۱۴-۲- سنتز -۱۴- (۴- کلرو فنیل) - H_4 - دی بنزو [j, a] زانتن (۲d)
۴۱	۱۵-۲- سنتز -۱۴- (۳- نیترو فنیل) - H_4 - دی بنزو [j, a] زانتن (۲e)
۴۲	۱۶-۲- سنتز -۱۴- (۴- نیترو فنیل) - H_4 - دی بنزو [j, a] زانتن (۲f)

فصل سوم: کارهای محاسباتی

۴۳	۱-۳- محاسبه انرژی کل ترکیبات
۴۳	۲-۳- بررسی طول پیوند، زاویه پیوند و زاویه دو وجهی در ترکیبات
۴۴	۱-۲-۳- بررسی طول پیوند، زاویه پیوند و زاویه دو وجهی در ترکیب 1a
۴۵	۲-۲-۳- بررسی طول پیوند، زاویه پیوند و زاویه دو وجهی در ترکیب 1b
۴۶	۳-۲-۳- بررسی طول پیوند، زاویه پیوند و زاویه دو وجهی در ترکیب 1c
۴۷	۴-۲-۳- بررسی طول پیوند، زاویه پیوند و زاویه دو وجهی در ترکیب 1d
۴۸	۵-۲-۳- بررسی طول پیوند، زاویه پیوند و زاویه دو وجهی در ترکیب 1e
۴۹	۶-۲-۳- بررسی طول پیوند، زاویه پیوند و زاویه دو وجهی در ترکیب 1f
۵۰	۷-۲-۳- بررسی طول پیوند، زاویه پیوند و زاویه دو وجهی در ترکیب 1g
۵۱	۸-۲-۳- بررسی طول پیوند، زاویه پیوند و زاویه دو وجهی در ترکیب 2a
۵۲	۹-۲-۳- بررسی طول پیوند، زاویه پیوند و زاویه دو وجهی در ترکیب 2b
۵۳	۱۰-۲-۳- بررسی طول پیوند، زاویه پیوند و زاویه دو وجهی در ترکیب 2c
۵۴	۱۱-۲-۳- بررسی طول پیوند، زاویه پیوند و زاویه دو وجهی در ترکیب 2d
۵۵	۱۲-۲-۳- بررسی طول پیوند، زاویه پیوند و زاویه دو وجهی در ترکیب 2e
۵۶	۱۳-۲-۳- بررسی اختلاف طول پیوند در حلقه های ترکیبات 2f
۵۸	۳-۲- بررسی اختلاف طول پیوند در حلقه های ترکیبات
۵۸	۱-۳-۳- بیشینه اختلاف طول پیوند در حلقه های ترکیبات 1a-g

۵۸	- بیشینه اختلاف طول پیوند در حلقه های ترکیبات 2a-f	۲-۳-۳
۵۹	- بررسی شاخص نوسانگر هماهنگ آروماتیسیتی در حلقه های ترکیبات	۴-۳
۵۹	- بررسی مقادیر HOMA در حلقه های ترکیبات 1a-g	۴-۳
۶۰	- بررسی مقادیر HOMA در حلقه های ترکیبات 2a-f	۴-۳
۶۱	- داده های حاصل از محاسبات Freq ترکیبات	۵-۳
۶۲	- مقایسه داده های حاصل از محاسبات $^1\text{HNMR}$ برخی از ترکیبات با داده های تجربی	۶-۳
۶۲	- نمودار همبستگی داده های $^1\text{HNMR}$ محاسباتی و تجربی ترکیب 1a	۶-۳
۶۲	- نمودار همبستگی داده های $^1\text{HNMR}$ محاسباتی و تجربی ترکیب 1b	۶-۳
۶۳	- نمودار همبستگی داده های $^1\text{HNMR}$ محاسباتی و تجربی ترکیب 1c	۶-۳
۶۳	- نمودار همبستگی داده های $^1\text{HNMR}$ محاسباتی و تجربی ترکیب 1d	۶-۳
۶۳	- نمودار همبستگی داده های $^1\text{HNMR}$ محاسباتی و تجربی ترکیب 1e	۶-۳
۶۴	- نمودار همبستگی داده های $^1\text{HNMR}$ محاسباتی و تجربی ترکیب 1f	۶-۳
۶۴	- نمودار همبستگی داده های $^1\text{HNMR}$ محاسباتی و تجربی ترکیب 1g	۶-۳
۶۴	- نمودار همبستگی داده های $^1\text{HNMR}$ محاسباتی و تجربی ترکیب 2a	۸-۶-۳
۶۵	- نمودار همبستگی داده های $^1\text{HNMR}$ محاسباتی و تجربی ترکیب 2b	۹-۶-۳
۶۵	- نمودار همبستگی داده های $^1\text{HNMR}$ محاسباتی و تجربی ترکیب 2c	۱۰-۶-۳
۶۵	- نمودار همبستگی داده های $^1\text{HNMR}$ محاسباتی و تجربی ترکیب 2d	۱۱-۶-۳
۶۶	- نمودار همبستگی داده های $^1\text{HNMR}$ محاسباتی و تجربی ترکیب 2f	۱۲-۶-۳
۶۶	- مقایسه داده های حاصل از محاسبات $^{13}\text{CNMR}$ برخی از ترکیبات با داده های تجربی	۷-۳
۶۷	- نمودار همبستگی داده های $^{13}\text{CNMR}$ محاسباتی و تجربی ترکیب 1a	۱-۷-۳
۶۷	- نمودار همبستگی داده های $^{13}\text{CNMR}$ محاسباتی و تجربی ترکیب 1b	۲-۷-۳
۶۷	- نمودار همبستگی داده های $^{13}\text{CNMR}$ محاسباتی و تجربی ترکیب 1d	۳-۷-۳
۶۸	- نمودار همبستگی داده های $^{13}\text{CNMR}$ محاسباتی و تجربی ترکیب 1e	۴-۷-۳
۶۸	- نمودار همبستگی داده های $^{13}\text{CNMR}$ محاسباتی و تجربی ترکیب 1f	۵-۷-۳
۶۸	- نمودار همبستگی داده های $^{13}\text{CNMR}$ محاسباتی و تجربی ترکیب 1g	۶-۷-۳
۶۹	- نمودار همبستگی داده های $^{13}\text{CNMR}$ محاسباتی و تجربی ترکیب 2a	۷-۷-۳
۶۹	- نمودار همبستگی داده های $^{13}\text{CNMR}$ محاسباتی و تجربی ترکیب 2b	۸-۷-۳
۶۹	- نمودار همبستگی داده های $^{13}\text{CNMR}$ محاسباتی و تجربی ترکیب 2c	۹-۷-۳

۷۰	- نمودار همبستگی داده های $^{13}\text{CNMR}$ محاسباتی و تجربی ترکیب ۲d	۱۰-۷-۳
۷۰	- نمودار همبستگی داده های $^{13}\text{CNMR}$ محاسباتی و تجربی ترکیب ۲f	۱۱-۷-۳
۷۱	- مقایسه داده های حاصل از محاسبات IR برخی از ترکیبات با داده های تجربی	۸-۳
۷۱	- نمودار همبستگی داده های IR محاسباتی و تجربی ترکیب ۱a	۱-۸-۳
۷۱	- نمودار همبستگی داده های IR محاسباتی و تجربی ترکیب ۱b	۲-۸-۳
۷۲	- نمودار همبستگی داده های IR محاسباتی و تجربی ترکیب ۱c	۳-۸-۳
۷۲	- نمودار همبستگی داده های IR محاسباتی و تجربی ترکیب ۱d	۴-۸-۳
۷۲	- نمودار همبستگی داده های IR محاسباتی و تجربی ترکیب ۱e	۵-۸-۳
۷۳	- نمودار همبستگی داده های IR محاسباتی و تجربی ترکیب ۱f	۶-۸-۳
۷۳	- نمودار همبستگی داده های IR محاسباتی و تجربی ترکیب ۲a	۷-۸-۳
۷۳	- نمودار همبستگی داده های IR محاسباتی و تجربی ترکیب ۲b	۸-۸-۳
۷۴	- نمودار همبستگی داده های IR محاسباتی و تجربی ترکیب ۲c	۹-۸-۳
۷۴	- نمودار همبستگی داده های IR محاسباتی و تجربی ترکیب ۲d	۱۰-۸-۳
۷۴	- نمودار همبستگی داده های IR محاسباتی و تجربی ترکیب ۲e	۱۱-۸-۳
۷۵	- نمودار همبستگی داده های IR محاسباتی و تجربی ترکیب ۱f	۱۲-۸-۳
۷۵	- داده های حاصل از محاسبات NICS ترکیبات	۹-۳
۷۶	- داده های حاصل از محاسبات NICS ترکیب ۱a	۱-۹-۳
۷۶	- داده های حاصل از محاسبات NICS ترکیب ۱b	۲-۹-۳
۷۶	- داده های حاصل از محاسبات NICS ترکیب ۱c	۳-۹-۳
۷۶	- داده های حاصل از محاسبات NICS ترکیب ۱d	۴-۹-۳
۷۶	- داده های حاصل از محاسبات NICS ترکیب ۱e	۵-۹-۳
۷۷	- داده های حاصل از محاسبات NICS ترکیب ۱f	۶-۹-۳
۷۷	- داده های حاصل از محاسبات NICS ترکیب ۱g	۷-۹-۳
۷۸	- داده های حاصل از محاسبات NICS ترکیب ۲a	۸-۹-۳
۷۸	- داده های حاصل از محاسبات NICS ترکیب ۲b	۹-۹-۳
۷۸	- داده های حاصل از محاسبات NICS ترکیب ۲c	۱۰-۹-۳
۷۹	- داده های حاصل از محاسبات NICS ترکیب ۲d	۱۱-۹-۳
۷۹	- داده های حاصل از محاسبات NICS ترکیب ۲e	۱۲-۹-۳

۷۹ داده های حاصل از محاسبات NICS ترکیب 2f	۱۳-۹-۳
۸۰ رفتار مغناطیسی همتاهای ترکیبات 1a-g	۱۰-۳
۸۳ رفتار مغناطیسی همتاهای ترکیبات 2a-f	۱۱-۳
۸۵ مقایسه جمعی رفتار مغناطیسی ترکیبات 1a-g	۱۲-۳
۸۶ مقایسه جمعی رفتار مغناطیسی ترکیبات 2a-f	۱۳-۳
۸۷ داده های حاصل از محاسبات شکاف HOMO-LUMO ترکیبات	۱۴-۳
۸۷ ۱-۱۴-۳ مقادیر شکاف HOMO-LUMO ترکیبات 1a-g	
۸۷ ۲-۱۴-۳ مقادیر شکاف HOMO-LUMO ترکیبات 2a-f	

فصل چهارم: بحث و نتیجه گیری

۸۸ ۴-۱- بحث و نتیجه گیری
----	-----------------------------

فصل پنجم: پیوست ها

۹۲ ۱-۵ اوربیتال های مولکولی ترکیبات 1a و 1b
۹۳ ۲-۵ اوربیتال های مولکولی ترکیبات 1c و 1d
۹۴ ۳-۵ اوربیتال های مولکولی ترکیبات 1e و 1f
۹۵ ۴-۵ اوربیتال های مولکولی ترکیب 1g
۹۶ ۵-۵ اوربیتال های مولکولی ترکیبات 2a و 2b
۹۷ ۶-۵ اوربیتال های مولکولی ترکیب 2c
۹۸ ۷-۵ اوربیتال های مولکولی ترکیبات 2d و 2e
۹۹ ۸-۵ اوربیتال های مولکولی ترکیبات 2f
-۹-۵ ۹-۵ طیف IR ترکیب ۹- (۴- کلرو فنیل)- ۶،۶،۳،۳- ترا متیل- ۹،۷،۶،۵،۴،۳- هگزاہیدرو- ۱H زانتن - ۱،۱- ۸(۲H)- دیون (1d)
-۱۰-۵ ۱۰-۵ طیف ¹ HNMR ترکیب ۹- (۴- کلرو فنیل)- ۶،۶،۳- ترا متیل- ۹،۷،۶،۵،۴،۳- هگزاہیدرو-
-۱۰۱ ۱- زانتن - ۱،۱- ۸(۲H)- دیون (1d) ۱H
-۱۰۳ ۱۲-۵ طیف ¹³ CNMR ترکیب ۹- (۴- کلرو فنیل)- ۶،۶،۳- ترا متیل- ۹،۷،۶،۵،۴،۳- هگزاہیدرو- ۱H زانتن - ۱،۱- ۸(۲H)- دیون (1d)

۱۴-۵ - طیف IR ترکیب ۶,۶,۳,۳ - تترا متیل-۹- (۳- نیترو فنیل) -۹,۷,۶,۵,۴,۳ - هگزاہیدرو-	
۱۰۵ زانتن - ۱, ۸ - دیون (۲H) - ۱H-	
۱۵-۵ - طیف $^1\text{HNMR}$ ترکیب ۶,۶,۳,۳ - تترا متیل-۹- (۳- نیترو فنیل) -۹,۷,۶,۵,۴,۳ - هگزاہیدرو-	
۱۰۶ زانتن - ۱, ۸ - دیون (۲H) - ۱H	
۱۷-۵ - طیف $^{13}\text{CNMR}$ ترکیب ۶,۶,۳,۳ - تترا متیل-۹- (۳- نیترو فنیل) -۹,۷,۶,۵,۴,۳ - هگزاہیدرو-	
۱۰۸ زانتن - ۱, ۸ - دیون (۲H) - ۱H	
۱۹-۵ - طیف IR ترکیب ۶,۶,۳,۳ - تترا متیل-۹- (۴- نیترو فنیل) -۹,۷,۶,۵,۴,۳ - هگزاہیدرو-	
۱۱۰ زانتن - ۱, ۸ - دیون (۲H) - ۱H	
۲۰-۵ - طیف $^1\text{HNMR}$ ترکیب ۶,۶,۳,۳ - تترا متیل-۹- (۴- نیترو فنیل) -۹,۷,۶,۵,۴,۳ - هگزاہیدرو-	
۱۱۱ زانتن - ۱, ۸ - دیون (۲H) - ۱H	
۲۲-۵ - طیف $^{13}\text{CNMR}$ ترکیب ۶,۶,۳,۳ - تترا متیل-۹- (۴- نیترو فنیل) -۹,۷,۶,۵,۴,۳ - هگزاہیدرو-	
۱۱۳ زانتن - ۱, ۸ - دیون (۲H) - ۱H	
۲۴-۵ - طیف IR ترکیب ۹- (۲- کلرو فنیل) - ۶,۶,۳,۳ - تترا متیل-۹,۷,۶,۵,۴,۳ - هگزاہیدرو-۱H-	
۱۱۵ زانتن - ۱, ۸ - دیون (۲H) - ۱H	
۲۵-۵ - طیف $^1\text{HNMR}$ ترکیب ۹- (۲- کلرو فنیل) - ۶,۶,۳,۳ - تترا متیل-۹,۷,۶,۵,۴,۳ - هگزاہیدرو-	
۱۱۶ زانتن - ۱, ۸ - دیون (۲H) - ۱H	
۲۷-۵ - طیف $^{13}\text{CNMR}$ ترکیب ۹- (۲- کلرو فنیل) - ۶,۶,۳,۳ - تترا متیل-۹,۷,۶,۵,۴,۳ - هگزاہیدرو-	
۱۱۸ زانتن - ۱, ۸ - دیون (۲H) - ۱H	
۲۹-۵ - طیف IR ترکیب ۱۴- (فنیل)-۱۴H- - دی بنزو [a , j] زانتن (۲a) ۱۲۰	
۱۲۱ طیف IR ترکیب ۱۴- (۴- متوكسی فنیل)-۱۴H- - دی بنزو [a , j] زانتن (۲b) ۱۲۱	
۱۲۲ طیف IR ترکیب ۱۴- (۴- متیل فنیل)-۱۴H- - دی بنزو [a , j] زانتن (۲c) ۱۲۲	
۱۲۳ طیف IR ترکیب ۱۴- (۴- کلرو فنیل)-۱۴H- - دی بنزو [a , j] زانتن (۲d) ۱۲۳	
۱۲۴ طیف IR ترکیب ۱۴- (۳- نیترو فنیل)-۱۴H- - دی بنزو [a , j] زانتن (۲e) ۱۲۴	
۱۲۵ طیف IR ترکیب ۱۴- (۴- نیترو فنیل)-۱۴H- - دی بنزو [a , j] زانتن (۲f) ۱۲۵	

منابع

١٢٦ منابع

صفحه

شما ها

فهرست شما ها

شمای (۱-۱): انواع ساختار مولکول پیران ۳	شمای (۱-۲): اتصال H_4 -پیران به گروهای سیرنشده ۳
شمای (۱-۳): رنگدانه های دارای حلقه پیرانی ۴	شمای (۱-۴): سنتز پیران با استفاده از واکنش های سه جزئی ۴
شمای (۱-۵): سنتز مولکول پیران به روش مشابه هانتش ۵	شمای (۱-۶): سنتز مشتقات H_4 -پیران با استفاده از اتوکسید ۵
شمای (۱-۷): سنتز مشتقات H_4 -پیران با استفاده از K_2CO_3 ۶	شمای (۱-۸): سنتز H_4 -پیران در نتیجه واکنش دیلز-آلدر برگشتی ۷
شمای (۱-۹): سنتز H_4 -پیران از طریق واکنش هترو دیلز-آلدر ۷	شمای (۱-۱۰): سنتز مشتقات تترا هیدرو بنزو [b] پیران ۸
شمای (۱-۱۱): سنتز H_4 -پیران در شرایط تابش ریز موج ۸	شمای (۱-۱۲): سنتز H_4 -پیران با استفاده از ZnO/MgO ۹
شمای (۱-۱۳): سنتز مشتقات تترا هیدرو بنزو [b] پیران با استفاده از مایعات یونی ۹	شمای (۱-۱۴): سنتز مشتقات سه حلقه ای پیرانو پیران با استفاده از کاتالیزگر NEt_3 ۱۰
شمای (۱-۱۵): سنتز مشتقات سه حلقه ای پیران با استفاده از کاتالیزگر K_2CO_3 ۱۰	شمای (۱-۱۶): واکنش آلدھید آروماتیک با ۲-نفتول یا دیمدون ۱۲
شمای (۱-۱۷): سنتز زانتن با استفاده از گرما و سلولز سولفونیک اسید ۱۳	شمای (۱-۱۸): سنتز زانتن با استفاده از کاتالیزگر $Fe(HSO_4)_2$ ۱۳
شمای (۱-۱۹): سنتز مشتقات ۴ حلقه ای پیران در حضور کاتالیزگر Na_2CO_3 ۱۴	شمای (۱-۲۰): سنتز مشتقات ۵ حلقه ای پیران در حضور کاتالیزگر $BF_3.SiO_2$ ۱۴
شمای (۱-۲۱): سنتز مشتقات ۵ حلقه ای و ۳ حلقه ای پیران در حضور کاتالیزگر $ZrO(OTf)_2$... ۱۵	

شمای (۲۲-۱): ستز مشتقات ۵ و ۳ حلقه ای پیران به وسیله رزین تبادل یونی Dowex-50W ۱۵	
شمای (۱-۲۳): بخش آروماتیک مربوط به ساختار کلروفیل _{C₂} و ساختار آروماتیک مربوط به هم B ۱۷	
شمای (۱-۲۴): مقایسه طول پیوند در بنزن و پلی ان های زنجیری ۱۷	
شمای (۱-۲۵): آنیزوتروپی مغناطیسی حلقه بنزن، در یک میدان القائی خارجی ۱۹	
شمای (۱-۲۶): نمایش جابجایی شیمیایی گروهی از مولکول های آلی ۱۹	
شمای (۱-۲۷): مقادیر HOMA برخی از ساختار ها ۲۲	
شمای (۲-۱): واکنش مشتقات بنزآلدهید با دیمدون یا β -نفتول در حضور نانو کاتالیزگر Fe ₃ O ₄ ۲۶	
شمای (۲-۲): مکانیسم پیشنهادی برای واکنش تراکمی آلدهیدها با دایمدون در حضور نانو ذرات Fe ₃ O ₄ ۲۷	
شمای (۳-۲) ۲۹	
شمای (۴-۲) ۳۱	
شمای (۵-۲) ۳۳	
شمای (۶-۲) ۳۵	
شمای (۷-۲) ۳۷	
شمای (۸-۲) ۳۸	
شمای (۹-۲) ۳۹	
شمای (۱۰-۲) ۴۰	
شمای (۱۱-۲) ۴۱	
شمای (۱۲-۲) ۴۲	

صفحه

جدول ها

فهرست جدول ها

جدول (۱-۲): نتایج بررسی بهینه سازی کاتالیزگر ۲۷
جدول (۲-۲): نتایج بررسی واکنش در شرایط مورد مطالعه ۲۸
جدول (۳-۲): نتایج بررسی بهینه سازی کاتالیزگر ۳۶
جدول (۴-۲): نتایج بررسی واکنش در شرایط مورد مطالعه ۳۷
جدول (۱-۳): انرژی کل محاسبه شده محصولات ۱a-g و 2a-f ۴۳
جدول (۲-۳): طول پیوند محاسبه شده ترکیب ۱a ۴۴
جدول (۳-۳): زاویه پیوند و زاویه دو وجهی محاسبه شده ترکیب ۱a ۴۴
جدول (۴-۳): طول پیوند محاسبه شده ترکیب ۱b ۴۵
جدول (۵-۳): زاویه پیوند و زاویه دو وجهی محاسبه شده ترکیب ۱b ۴۵
جدول (۶-۳): طول پیوند محاسبه شده ترکیب ۱c ۴۶
جدول (۷-۳): زاویه پیوند و زاویه دو وجهی محاسبه شده ترکیب ۱c ۴۶
جدول (۸-۳): طول پیوند محاسبه شده ترکیب ۱d ۴۷
جدول (۹-۳): زاویه پیوند و زاویه دو وجهی محاسبه شده ترکیب ۱d ۴۷
جدول (۱۰-۳): طول پیوند محاسبه شده ترکیب ۱e ۴۸
جدول (۱۱-۳): زاویه پیوند و زاویه دو وجهی محاسبه شده ترکیب ۱e ۴۸
جدول (۱۲-۳): طول پیوند محاسبه شده ترکیب ۱f ۴۹
جدول (۱۳-۳): زاویه پیوند و زاویه دو وجهی محاسبه شده ترکیب ۱f ۴۹
جدول (۱۴-۳): طول پیوند محاسبه شده ترکیب ۱g ۵۰
جدول (۱۵-۳): زاویه پیوند و زاویه دو وجهی محاسبه شده ترکیب ۱g ۵۰
جدول (۱۶-۳): طول پیوند محاسبه شده ترکیب ۲a ۵۱
جدول (۱۷-۳): زاویه پیوند و زاویه دو وجهی محاسبه شده ترکیب ۲a ۵۱
جدول (۱۸-۳): طول پیوند محاسبه شده ترکیب ۲b ۵۲
جدول (۱۹-۳): زاویه پیوند و زاویه دو وجهی محاسبه شده ترکیب ۲b ۵۲

..... ۵۳	جدول (۲۰-۳): طول پیوند محاسبه شده ترکیب 2c
..... ۵۳	جدول (۲۱-۳): زاویه پیوند و زاویه دو وجهی محاسبه شده ترکیب 2c
..... ۵۴	جدول (۲۲-۳): طول پیوند محاسبه شده ترکیب 2d
..... ۵۴	جدول (۲۳-۳): زاویه پیوند و زاویه دو وجهی محاسبه شده ترکیب 2d
..... ۵۵	جدول (۲۴-۳): طول پیوند محاسبه شده ترکیب 2e
..... ۵۵	جدول (۲۵-۳): زاویه پیوند و زاویه دو وجهی محاسبه شده ترکیب 2e
..... ۵۶	جدول (۲۶-۳): طول پیوند محاسبه شده ترکیب 2f
..... ۵۶	جدول (۲۷-۳): زاویه پیوند و زاویه دو وجهی محاسبه شده ترکیب 2f
..... ۵۸	جدول (۲۸-۳): داده های حاصل از محاسبات اختلاف طول پیوند ترکیبات 1a-g بر حسب انگسترم
..... ۵۸	جدول (۲۹-۳): داده های حاصل از محاسبات اختلاف طول پیوند ترکیبات 2a-f بر حسب انگسترم
..... ۵۹	جدول (۳۰-۳): داده های حاصل از محاسبات HOMA ترکیبات 1a-g
..... ۶۰	جدول (۳۱-۳): داده های حاصل از محاسبات HOMA ترکیبات 2a-f
..... ۶۱	جدول (۳۲-۳): داده های حاصل از محاسبات Freq ترکیبات 1a-g
..... ۶۱	جدول (۳۳-۳): داده های حاصل از محاسبات Freq ترکیبات 2a-f
..... ۸۷	جدول (۳۴-۳): داده های حاصل از محاسبات HOMO-LUMO ترکیبات 1a-g
..... ۸۷	جدول (۳۵-۳): داده های حاصل از محاسبات HOMO-LUMO ترکیبات 2a-f
..... ۹۰	جدول (۴-۱): مقایسه مشتقات زانن سنتز شده

۱-۱- مقدمه بخش عملی

ذرات با ابعاد نانو از نظر علم و تکنولوژی حائز اهمیت زیادی است. نانوذرات به دلیل دارا بودن خواص کاملاً منحصر به فرد از اهمیت بسیار زیادی برخوردار می باشند. در واقع کوچکی بیش از حد و بالا بودن نسبت سطح به حجم در این ترکیبات باعث ایجاد خواص الکترونیکی، اپتیکی، مغناطیسی و شیمیایی جدید در آنها شده است. امروزه نانوذرات مغناطیسی بر پایه آهن اهمیت بسیار زیادی یافته اند، زیرا کاربردهای وسیعی در کشاورزی، صنعت و پزشکی دارا می باشند. این ترکیبات عمدهاً با توجه به خواص فیزیکی، مکانیکی و نیز خواص منحصر به فرد مغناطیسی شان مورد استفاده قرار می گیرند[۱]. در سال های اخیر روش های سنتزی متعددی با استفاده از فلزات واسطه گروه ۸ جدول تناوبی به ویژه تبدیلات شیمی گزین و فضاگزین مفیدی در زمینه شیمی پالادیم گزارش شده است[۲].

۱-۲- ماهیت مغناطیسی نانوذرات

در مواد مغناطیسی، مولکول ها و اتم های سازنده‌ی آن خاصیت مغناطیسی دارند. به بیان ساده تر عناصری مانند آهن، کبالت، نیکل و آلیاژهای آن ها که بوسیله آهن ربا جذب می گردد، مواد مغناطیسی نامیده می شود. طبقه بندی مواد مغناطیسی بر اساس قابلیت فروزنی مغناطیسی^۱ (قابلیت مغناطیسی شدن ماده) انجام می شود. بر این اساس مواد را به سه گروه فرومغناطیس، پارامغناطیس و دیامغناطیس دسته بندی می کنند[۳].

1. Magnetic susceptibility

۱-۳- آرایش الکترونی، حالت اکسایش و ساختمان کمپلکس آهن

آهن (Fe) یکی از فلزات واسطه گروه ۸ است. آرایش الکترونی آهن در کمپلکس‌ها به صورت $[Ar]4s^03d^8$ می‌باشد. بیشترین حالت اکسایش آهن به صورت $+2$ و $+3$ می‌باشد. علاوه بر این حالت‌های اکسایش -1 ، 0 ، $+1$ و -2 نیز بسیار مهم هستند. کمپلکس‌های آهن (II)، ([Ar] $4s^03d^6$) (III)، ([Ar] $4s^03d^5$) (IV) می‌توانند از 3 به 8 لیگاند کوئوردینه دارای عدد کوئوردیناسیون 6 هستند. آهن (III) عموماً اسید لوئیس شود. و اغلب به شکل کوئوردیناسیون هشت وجهی ظاهر می‌شود. آهن (III) بهتری از آهن (II) است. آهن (0) معمولاً به لیگاند‌های 5 و 6 کوئوردینه می‌شود و به ساختارهای 2 هرمی مثلثی و هشت وجهی در می‌آید. آهن (II) به صورت 4 وجهی کوئوردینه می‌شود [۴].

۱-۴- خواص کاتالیزگری مگنتیت

این ترکیب نوعی اسید لوئیس است و در بسیاری از واکنش‌های شیمیایی نقش کلیدی دارد و در سنتز ترکیبات آلی به ویژه در سنتز بی تقارن می‌باشد [۵]. این ترکیبات ویژگی‌های دیگری مانند پایداری حرارتی و سازگاری با محیط زیست دارند و دارای ساختارهایی مشخص و منظم هستند [۲]. علاوه بر ویژگی‌های بالا یکی از مزایای بزرگ این کاتالیزگرها آن است که به علت خواص مغناطیسی آن‌ها با استفاده از یک آهن ربای مناسب به راحتی قابل جداسازی و استفاده مجدد می‌باشند و آلایندگی محیط زیستی کمی دارند [۳].